

导航与制导实验报告

西安交通大学



INS 与 GPS 组合导航
仿真实验报告

自动化 94--胡欣盈--2194323176

目 录

一、实验要求	3
二、全局变量与组合导航仿真变量	3
三、Kalman Filter	4
四、数据文件说明	4
五、算法流程图	5
六、实验结果	5
七、代码	7

一、实验要求

- 1、完成 INS 与 GPS 位置组合导航的仿真；
- 2、画出组合导航后的位置误差、速度误差曲线；
- 3、画出原始轨迹与组合导航后的轨迹比较图；（画图时，弧度制单位要转换成度分秒制单位）
- 4、结果分析
- 5、提交纸版实验报告（附上代码）

二、全局变量与组合导航仿真变量

全局变量：

R=6378160; %地球半径（长半轴）

f=1/298.3; %地球扁率

wie=7.2921151467e-5; %地球自转角速率

g0=9.7803267714; %重力加速度基础值

deg= π /180; %角度

min=deg/60; %角分

sec=min/60; %角秒

hur=3600; %小时

dph=deg/hur; %度/时

ts=0.1; %仿真采样时间

组合导航仿真变量：

GPS_Sample_Rate=10; %GPS 采样时间

Runs=10; %由于随机误差，使用 Kalman 滤波时，应多次滤波，

以求平均值

Tg = 3600; %陀螺仪 Markov 过程相关时间

Ta = 1800; %加速度计 Markov 过程相关时间

三、Kalman Filter

估计状态初始值: $X_k = \text{zeros}(18, 1);$

估计协方差初始值:

$P_k = \text{diag}([\text{min}, \text{min}, \text{min}, 0.5, 0.5, 0.5, 30/\text{Re}, 30/\text{Re}, 30,$
 $0.1*\text{dph}, 0.1*\text{dph}, 0.1*\text{dph}, 0.1*\text{dph}, 0.1*\text{dph}, 0.1*\text{dph},$
 $1.e-3, 1.e-3, 1.e-3]).^2)$

系统噪声方差:

$Q_k = 1e-6*\text{diag}([0.01, 0.01, 0.01, 0.01, 0.01, 0.01, 0.9780, 0.97$
 $80, 0.9780])).^2$

量测噪声方差: $R_k = \text{diag}([1e-5, 1e-5, 10.3986])).^2$

系数矩阵 F, G, H 的表示, 参考课件 6.2.1。

四、数据文件说明

dataWbibN.txt %叠加噪声的陀螺仪角速度输出

dataFbibN.txt %叠加噪声的加速度计比力输出

dataPos.txt %原始轨迹的位置数据 (依次是纬度、经度、高度)

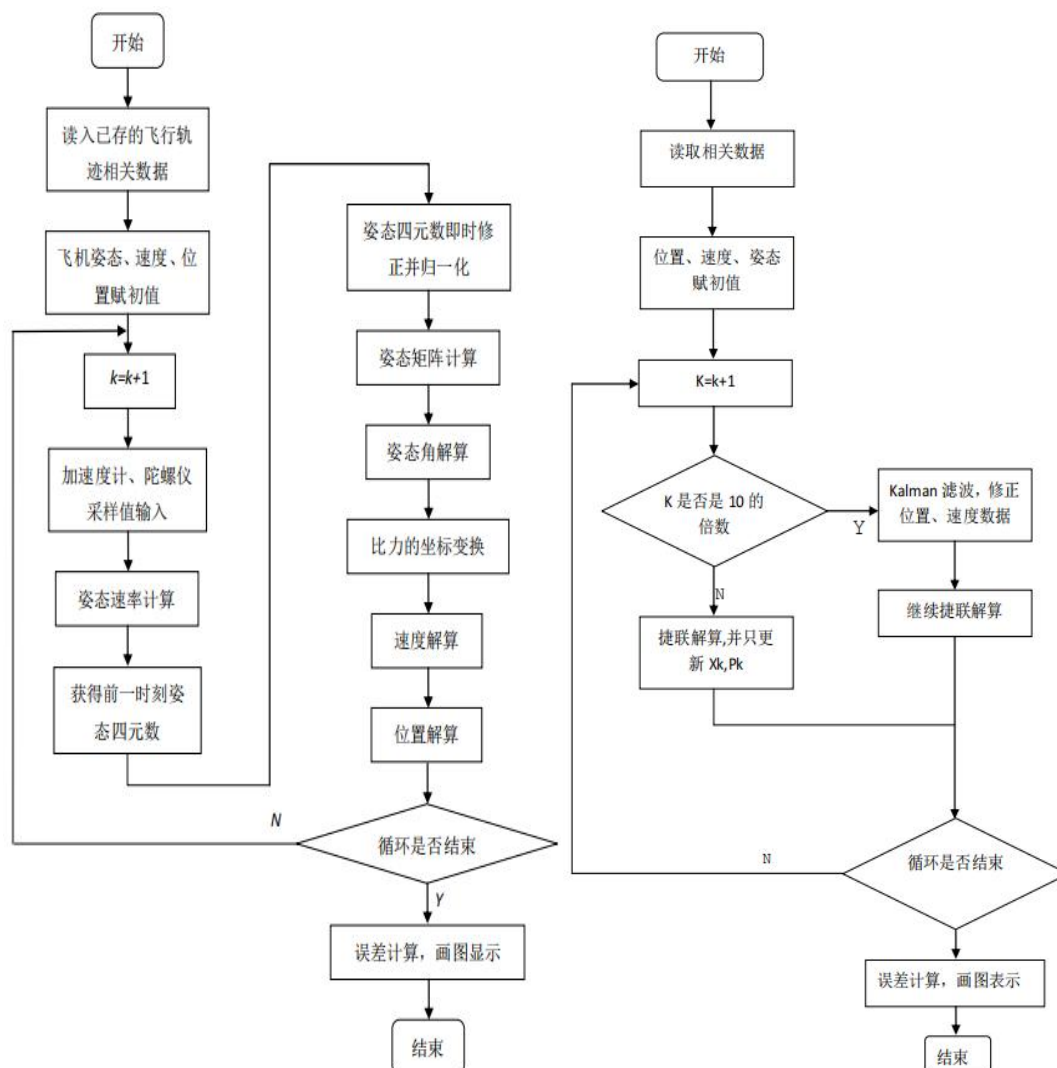
dataVn.txt %原始轨迹的速度数据 (依次是东速度、北速度、天速度)

att0=[0;0;0.3491] %姿态解算矩阵初始值 (依次是俯仰角、横滚角、航向角 ψ)

dataGPSposN.txt %叠加噪声的 GPS 位置数据（即等间隔采样原始轨迹的位置数据，采样间隔是 10，即第 10、20, ……的数据，并叠加噪声）

五、算法流程图

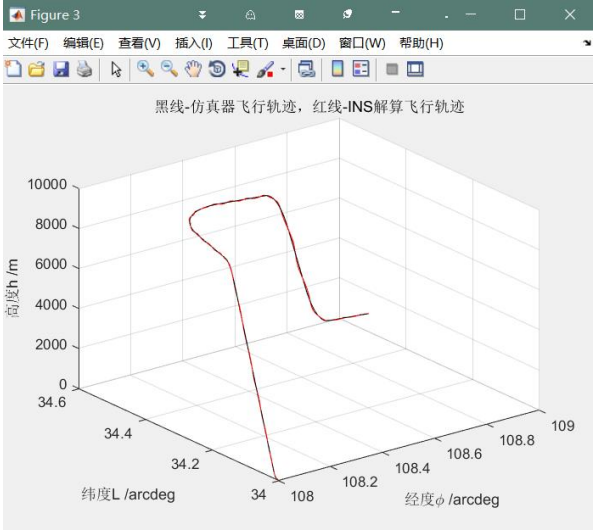
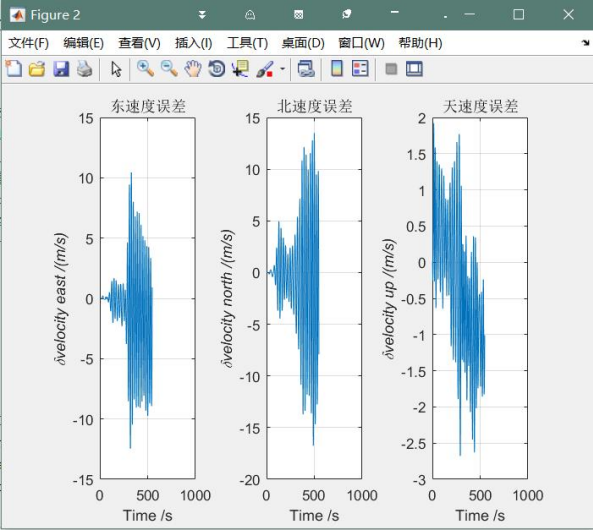
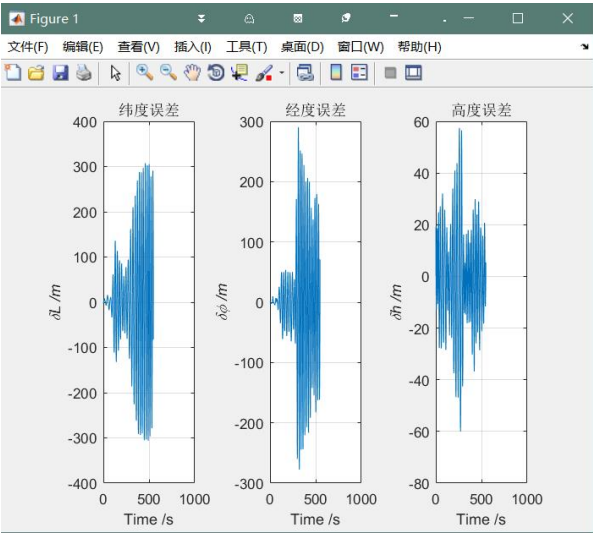
捷联解算四元数法流程图和整个仿真粗略流程图如下图所示：



六、实验结果

组合导航后的位置误差、速度误差曲线、原始轨迹与组合导航后的轨迹比较图如下图所示，结果与所给参考结果一致。观察轨迹图，可发现飞行轨迹肉眼可见的完全贴合原始轨迹，体现了组合导航结果

精度高，误差小的特点。



七、代码

组合导航代码如下所示，在原有例程的基础上添加的代码在 127 行标注。

```
1.  clc;clear;close all;
2.  %捷联惯导更新仿真，四元数法，一阶近似算法，不考虑圆锥补偿和划桨补偿
3.
4.
5.  ts=0.1;%采样时间
6.
7.  Re=6378160;%地球长半轴
8.  wie=7.2921151467e-5;%地球自转角速率
9.  f=1/298.3;%地球扁率
10. g0=9.7803;%重力加速度基础值
11. deg=pi/180;%角度
12. min=deg/60;%角分
13. sec=min/60;%角秒
14. hur=3600;%小时
15. dph=deg/hur;%度/小时
16.
17. %读取数据
18. wbibS=dlmread('dataWbibN.txt');
19. fbS=dlmread('dataFbibN.txt');
20. posS=dlmread('dataPos.txt');
21. vtetS=dlmread('dataVn.txt');
22. p_gps=dlmread('dataGPSposN.txt');
23.
24. %统计矩阵初始化
25. [mm,nn]=size(posS);
26. posSta=zeros(mm,nn);
27. vtSta=posSta;
28. attSta=posSta;
29.
30. posC(:,1)=posS(:,1); %位置向量初始值
31. vtC(:,1)=vtetS(:,1); %速度向量初始值
32. attC(:,1)=[ 0;
33.             0;
34.             0.3491]; %姿态解算矩阵初始值
35.
36.
37. Qk=1e-6*diag([0.01,0.01,0.01,0.01,0.01,0.01,0.9780,0.9780,0.9780]).^2;%系统噪声方差矩阵
38. Rk=diag([1e-5,1e-5,10.3986]).^2; %测量噪声方差
```

```

39.
40.   Tg = 3600*ones(3,1);           %陀螺仪 Markov 过程相关时间
41.   Ta = 1800*ones(3,1);           %加速度计 Markov 过程相关时间
42.
43.   GPS_Sample_Rate=10; %GPS 采样率太高效果也不好
44.
45.
46.   StaNum=10;%重复运行次数，用于求取统计平均值
47.
48.   for OutLoop=1:StaNum
49.
50.       Pk = diag([min,min,min, 0.5,0.5,0.5, 30./Re,30./Re,30, 0.1*dph,0.1*dph,0.1*dph, 0.
1*dph,0.1*dph,0.1*dph, 1.e-3,1.e-3,1.e-3].^2); %初始估计协方差矩阵
51.       Xk = zeros(18,1); %初始状态
52.       %%
53.       N=size(posS,2);
54.       %   j=1;
55.       for k=1:N-1
56.           si=sin(attC(1,k));ci=cos(attC(1,k));
57.           sj=sin(attC(2,k));cj=cos(attC(2,k));
58.           sk=sin(attC(3,k));ck=cos(attC(3,k));
59.           %k 时刻姿态矩阵
60.           M=[cj*ck+si*sj*sk,    ci*sk,    sj*ck-si*cj*sk;
61.              -cj*sk+si*sj*ck,    ci*ck,    -sj*sk-si*cj*ck;
62.              -ci*sj,            si,      ci*cj]; %即 Cnb 矩阵
63.           q_1=[
64.               sqrt(abs(1.0+M(1,1)+M(2,2)+M(3,3)))/2.0;
65.               sign(M(3,2)-M(2,3))*sqrt(abs(1.0+M(1,1)-M(2,2)-M(3,3)))/2.0;
66.               sign(M(1,3)-M(3,1))*sqrt(abs(1.0-M(1,1)+M(2,2)-M(3,3)))/2.0;
67.               sign(M(2,1)-M(1,2))*sqrt(abs(1.0-M(1,1)-M(2,2)+M(3,3)))/2.0];
68.           fn(:,k)=M*fbS(:,k);%比力的坐标变换
69.
70.
71.           %捷联惯导解算
72.           wnie=wie*[0;cos(posC(1,k));sin(posC(1,k))];%地球系相对惯性系的转动角速度在导航系
(地理系)的投影
73.           %计算主曲率半径
74.           Rm=Re*(1-2*f+3*f*sin(posC(1,k))^2)+posC(3,k);
75.           Rn=Re*(1+f*sin(posC(1,k))^2)+posC(3,k);
76.
77.           wnen=[-vtC(2,k)/(Rm+posC(3,k));vtC(1,k)/(Rn+posC(3,k));vtC(1,k)*tan(posC(1,k))
/(Rn+posC(3,k))];%导航系相对地球系的转动角速度在导航系的投影
78.           g=g0+0.051799*sin(posC(1,k))^2-0.94114e-6*posC(3,k);%重力加速度
79.           gn=[0;0;-g];%导航坐标系的重力加速度

```



```

80.
81.
82.     wbnbC(:,k)=wbibS(:,k)-M\(\wnie+wnen); %姿态角转动角速率计算
83.     q=1.0/2*qmul(q_1,[0;wbnbC(:,k)])*ts+q_1; %姿态四元数更新
84.     q=q/sqrt(q'*q);%四元数归一化
85.
86.     %姿态角更新
87.     q11=q(1)*q(1);q12=q(1)*q(2);q13=q(1)*q(3);q14=q(1)*q(4);
88.     q22=q(2)*q(2);q23=q(2)*q(3);q24=q(2)*q(4);
89.     q33=q(3)*q(3);q34=q(3)*q(4);
90.     q44=q(4)*q(4);
91.     T=[q11+q22-q33-q44,    2*(q23-q14),    2*(q24+q13);
92.        2*(q23+q14),    q11-q22+q33-q44,    2*(q34-q12);
93.        2*(q24-q13),    2*(q34+q12),    q11-q22-q33+q44];
94.
95.     attC(:,k+1)=[asin(T(3,2));atan(-T(3,1)/T(3,3));atan(T(1,2)/T(2,2))];
96.     %横滚角 gamma 修正
97.     if T(3,3)<0
98.         if attC(2,k+1)<0
99.             attC(2,k+1)=attC(2,k+1)+pi;
100.        else
101.            attC(2,k+1)=attC(2,k+1)-pi;
102.        end
103.    end
104.    %航向角 psi 修正
105.    if T(2,2)<0
106.        if T(1,2)>0
107.            attC(3,k+1)=attC(3,k+1)+pi;
108.        else
109.            attC(3,k+1)=attC(3,k+1)-pi;
110.        end
111.    end
112.    if abs(T(2,2))<1.0e-20
113.        if T(1,2)>0
114.            attC(3,k+1)=pi/2.0;
115.        else
116.            attC(3,k+1)=-pi/2.0;
117.        end
118.    end
119.
120.    %速度更新
121.    vtC(:,k+1)=vtC(:,k)+ts*(fn(:,k)+gn-cross((2*wnie+wnen),vtC(:,k)));
122.    %位置更新
123.    posC(1,k+1)=posC(1,k)+ts*vtC(2,k)/(Rm+posC(3,k)); %纬度

```

```

124.         posC(2,k+1)=posC(2,k)+ts*vtC(1,k)/((Rn+posC(3,k))*cos(posC(1,k)));;%经度
125.         posC(3,k+1)=posC(3,k)+ts*vtC(3,k);           %高度
126.
127.         %添加程序
128.         [ F,G,H ] = GetConSis( vtC(:,k), posC(:,k), q , fn(:,k), Tg, Ta );%利用
            GetConSis 得到连续系统状态转移矩阵 F、连续系统噪声矩阵 G、连续系统测量矩阵 K 矩阵
129.         %ins 输出速度向量\位置向量\姿态四元数\解算输入，导航系下比力向量\加速度计误差漂移相关
            时间\陀螺仪误差漂移相关时间
130.
131.         if mod(k+1,10) == 0 %判断 k 是否为 10 的倍数，是则进行 Kalman 滤波，进行修正
132.             Zk = - posC(:,k+1) + p_gps(:,(k+1)/10);%Zk 量测位置误差向量
133.             [ E_att, E_pos, E_vn, Xk, Pk ] = kalman_GPS_INS_correct( Xk, Qk, Pk, F, G,
                H, ts , Zk , Rk);%Kalman 滤波
134.             %k-1 时刻状态向量（估计值）\系统噪声方差矩阵\估计均方误差矩阵 迭代步长\量测位置误
                差向量\测量噪声方差矩阵
135.
136.             %修正位置、速度数据
137.             posC(:,k+1) = posC(:,k+1) + E_pos;
138.             vtC(:,k+1) = vtC(:,k+1) + E_vn;
139.         else
140.             [ E_att, E_pos, E_vn, Xk, Pk ] = kalman_GPS_INS_correct( Xk, Qk, Pk, F, G,
                H, ts );%GPS 修正惯性导航
141.         end
142.
143.     end
144.
145.
146.
147.     %统计矩阵更新
148.     attSta=attSta+attC;
149.     vtSta=vtSta+vtC;
150.     posSta=posSta+posC;
151.
152. end
153. %对统计矩阵取平均
154. attC=1./StaNum*attSta;
155. posC=1./StaNum*posSta;
156. vtC=1./StaNum*vtSta;
157.
158. %解算值与仿真值的误差 作图
159. %解算矩阵均为 3x(N+1)，需做处理
160. %N 点数据，相邻两点采样间隔为 0.1s,做作图横轴修正
161. for i=1:N
162.     time(i)=i*ts;

```

```

163.     Rm = Re*(1-2*f+3*f*(sin(attC(1,i)))^2);
164.     Rn = Re*(1+f*(sin(attC(1,i)))^2);
165.     Latitude_error(i)=(posC(1,i)-posS(1,i))*Rm;
166.     Longitude_error(i)=(posC(2,i)-posS(2,i))*Rn*cos(attC(1,i));
167. end
168.
169. posCp=posC(:,1:N);
170. figure;
171. subplot(131);plot(time,Latitude_error);title('纬度误差
    ');xlabel('Time /s');ylabel('\it\delta L /m');grid on;
172. subplot(132);plot(time,Longitude_error);title('经度误差
    ');xlabel('Time /s');ylabel('\it\delta\phi /m');grid on;
173. subplot(133);plot(time,posCp(3,:)-posS(3,:));title('高度误差
    ');xlabel('Time /s');ylabel('\it\delta h /m');grid on;
174.
175. vtCp=vtC(:,1:N);
176. figure;
177. subplot(131);plot(time,vtCp(1,:)-vtetS(1,:));title('东速度误差
    ');xlabel('Time /s');ylabel('\it\delta velocity east /(m/s)');grid on;
178. subplot(132);plot(time,vtCp(2,:)-vtetS(2,:));title('北速度误差
    ');xlabel('Time /s');ylabel('\it\delta velocity north /(m/s)');grid on;
179. subplot(133);plot(time,vtCp(3,:)-vtetS(3,:));title('天速度误差
    ');xlabel('Time /s');ylabel('\it\delta velocity up /(m/s)');grid on;
180.
181. %三维飞行轨迹图
182. figure;
183. plot3(posS(2,:)/pi*180,posS(1,:)/pi*180,posS(3,:), 'k');
184. hold on;
185. plot3(posCp(2,:)/pi*180,posCp(1,:)/pi*180,posCp(3,:), 'r');grid on;
186. ylabel('纬度 L /arcdeg');xlabel('经度\phi /arcdeg');zlabel('高度 h /m');title('黑线-仿真
    器飞行轨迹, 红线-INS 解算飞行轨迹');

```